

# Лабораторная работа №5

## Математические модели с запаздыванием

Мат. моделирование динамических процессов 1

БГУ, ММФ, 3 курс, 6 семестр

специальность Компьютерная математика и системный анализ

апрель 2023

ММФ, КМ и СА, доц. Лаврова О.А., доц. Щеглова Н.Л.

### Задание 1. Метод последовательного интегрирования

**Напишите** пользовательскую функцию **solveDelay[f\_, T\_, {t0\_, tend\_}, phi\_]**, которая реализует метод последовательного интегрирования (метод шагов) для численного решения начальной задачи для одного *дифференциального уравнения с запаздывающим аргументом*

$$\begin{aligned}x'(t) &= f(t, x(t), x(t-T)), \quad t_0 < t \leq t_{\text{end}} \\x(t) &= \phi(t), \quad t_0 - T \leq t \leq t_0\end{aligned}\tag{1}$$

где  $T = \text{const} > 0$  определяет величину запаздывания, *начальная функция*  $\phi(t)$  полагается заданной на *начальном множестве*  $I_0 := [t_0 - T, t_0]$ .

#### Рекомендации по выполнению Задания 1

Используйте функцию **NDSolve** для решения задачи Коши для обыкновенного дифференциального уравнения без запаздывания на каждом шаге метода последовательного интегрирования.

Реализация последовательности шагов возможна с помощью оператора повторных действий **NestList** и функции **Piecewise** для представления кусочной гладкой функции решения  $x(t)$  на интервалах  $I_k := [t_0 + (k-1)T, t_0 + kT]$ ,  $k = 0, 1, 2, \dots$

In[1]:= ? NestList

Symbol	i
Out[1]:= NestList[f, expr, n] gives a list of the results of applying f to expr 0 through n times.	▼

**? Piecewise**

Piecewise[{{val<sub>1</sub>, cond<sub>1</sub>}, {val<sub>2</sub>, cond<sub>2</sub>}, ...}] represents a

piecewise function with values val<sub>i</sub> in the regions defined by the conditions cond<sub>i</sub>.

Piecewise[{{val<sub>1</sub>, cond<sub>1</sub>}, ...}, val] uses default value val if none of the cond<sub>i</sub> apply. The default for val is 0. >>

## Задание 2. Линейное дифференциальное уравнение уравнение с запаздывающим аргументом

Рассмотрим линейное дифференциальное уравнение с запаздывающим аргументом вида

$$x'(t) = -\frac{\pi x(t-T)}{2T}. \quad (2)$$

### Задание 2.1 (Аналитическое решение)

**Покажите** с помощью символьных преобразований в *Mathematica*, что функция  $x(t) = C \cos\left(\frac{\pi t}{2T}\right)$  является решением уравнения (2) для произвольного значения константы  $C$  и заданного значения параметра запаздывания  $T = \text{const} > 0$ .

### Задание 2.2 (Численное решение)

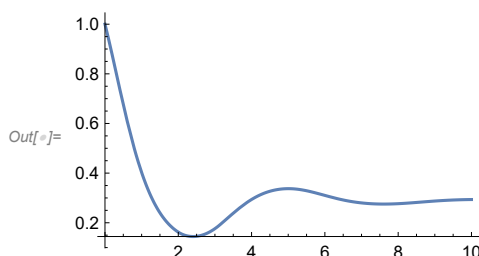
**Сформулируйте** произвольную начальную задачу для уравнения с запаздывающим аргументом (2).

**Решите** численно сформулированную начальную задачу с помощью пользовательской функции **solveDelay** из Задания 1 и с помощью встроенной функции **NDSolve**. **Сравните** два численных решения графически и численно.

### Рекомендации по выполнению Задания 2.2

Пример из справочной системы *Mathematica* применения встроенной функции **NDSolve** для решения дифференциального уравнения с запаздывающим аргументом

```
In[1]:= T = 2;
In[2]:= sol =
  NDSolve[{x'[t] == x[t] \times (x[t - Pi] - x[t - T]), x[t /; t \leq 0] == Cos[t]}, x, {t, 0, 10 T}];
In[3]:= Plot[Evaluate[x[t] /. First@First@sol], {t, 0, 5 T}, PlotRange \rightarrow All]
```



## Задание 3. Начальная задача для уравнения Хатчинсона

### Математическая модель

Рассмотрим начальную задачу для уравнения Хатчинсона в безразмерных переменных

$$\begin{aligned} N(t) &= N(t)(1 - N(t-T)), & t > 0 \\ N(t) &= \phi(t), & -T \leq t \leq 0 \end{aligned} \quad (3)$$

где начальная функция  $\phi(t) = 1 + \frac{t}{T}$  задана на начальном множестве  $I_0 = [-T, 0]$ , параметр запаздывания  $T = \text{const} > 0$ .

### Задание 3.1 (Численное решение)

**Изобразите** в одной системе координат графики решений  $N(t)$  модели Хатчинсона (3), построенные с помощью пользовательской функции **solveDelay** из Задания 1 для различных значений  $T$ . Рассмотрите случаи  $0 < T < \frac{\pi}{2}$ ,  $T = \frac{\pi}{2}$ ,  $T > \frac{\pi}{2}$ .

**Проверьте** корректность построенных численных решений сравнением с решениями модели Хатчинсона (3), полученными с помощью **NDSolve**.

### Задание 3.2 (Качественное поведение)

На основании построенных графиков решений в Задании 3.1 **сформулируйте выводы** о характере устойчивости положения равновесия  $N(t) \equiv 1$  модели Хатчинсона (3) для случаев  $0 < T < \frac{\pi}{2}$ ,  $T = \frac{\pi}{2}$ ,  $T > \frac{\pi}{2}$ .

## Задание 4. Модель регуляции концентрации клеток крови

### Математическая модель

$$c'(t) = \frac{\lambda a^m c(t-T)}{a^m + (c(t-T))^m} - g c(t), \quad t > 0 \quad (4)$$

$$c(t) = \phi(t), \quad -T \leq t \leq 0$$

где  $c(t) \geq 0$  -- концентрация клеток крови,  $T = \text{const} > 0$  -- временная задержка в воспроизведстве новых клеток крови и поступлении их в кровоток,  $\lambda = \text{const} > 0$ ,  $a = \text{const} > 0$ ,  $m = \text{const} > 0$ ,  $g = \text{const} > 0$  -- заданные параметры модели. Первое слагаемое в правой части уравнения отвечает за воспроизведение клеток, второе слагаемое -- за гибель клеток.

При обезразмеривании концентрации вида  $c^* = c/a$  уравнение модели (4) запишется в виде

$$\frac{dc^*(t)}{dt} = \frac{\lambda c^*(t-T)}{1 + (c^*(t-T))^m} - g c^*(t). \quad (5)$$

Математическая модель (4) впервые предложена в [3].

### Задание 4.1 (Численное решение)

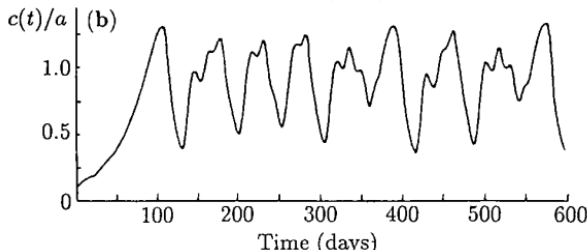
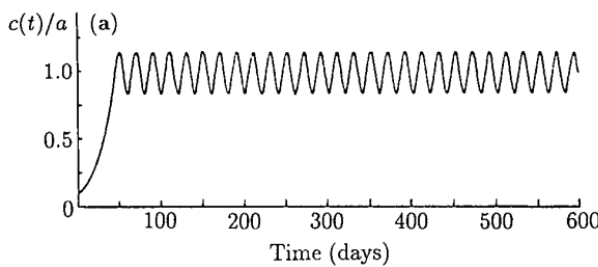
**Решите** численно начальную задачу для уравнения (5) с помощью пользовательской функции **solveDelay** для следующих значений параметров, соответствующих процессу регуляции лейкоцитов,

- (a)  $\lambda = 0.2 \text{ день}^{-1}$ ,  $m = 10$ ,  $g = 0.1 \text{ день}^{-1}$ ,  $T = 6 \text{ дней}$ ,
- (b)  $\lambda = 0.2 \text{ день}^{-1}$ ,  $m = 10$ ,  $g = 0.1 \text{ день}^{-1}$ ,  $T = 20 \text{ дней}$

и для начальной функции  $\phi(t) = 0.1$ , заданной на начальном множестве  $I_0 = [-T, 0]$ , при  $0 \leq t \leq 600$  дней.

Анализируя уравнение (5), **покажите**, что одним из положений равновесия для параметров (a) и (b) является решение вида  $c^*(t) \equiv 1$ .

**Сравните** построенные численные решения с приведенными ниже решениями из [1, стр. 27, Рис. 1.15] для случаев (a) и (b), соответственно.



По графикам численных решений видно, что величина запаздывания  $T$  в воспроизведстве лейкоцитов влияет на динамику изменения концентрации: периодическое изменение концентрации при  $T=6$  или апериодическое изменение концентрации при  $T=20$ .

Шестидневный период ( $T=6$ ) является нормой для изменения концентрации лейкоцитов в крови человека. Увеличение периода приводит к апериодическому изменению концентрации и может являться причиной нарушений здоровья и заболеваний человека.

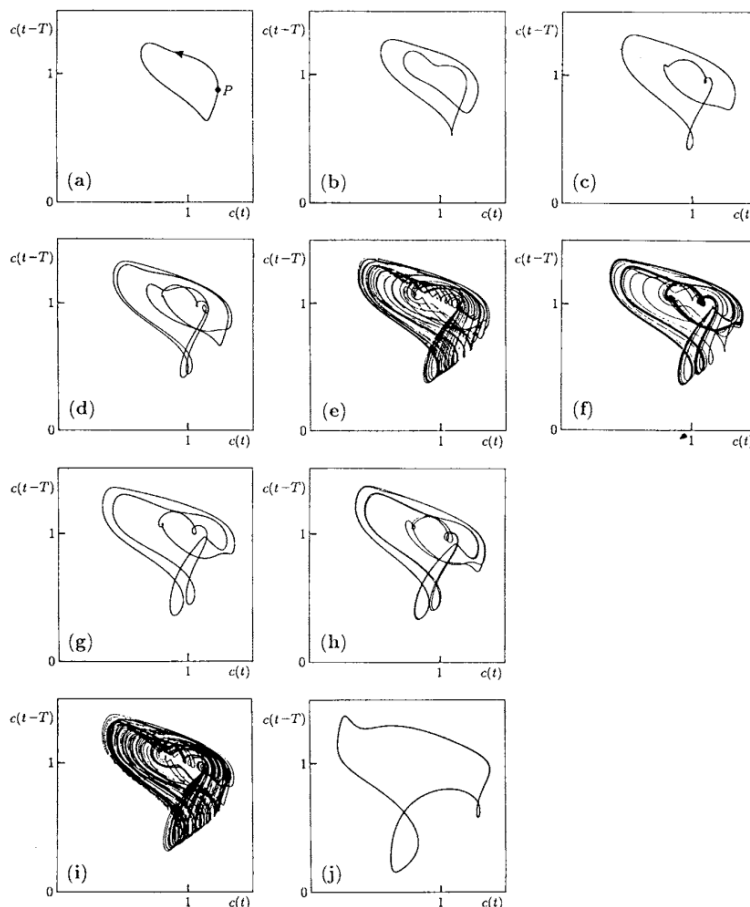
### Задание 4.2 (Фазовый портрет)

Качественное поведение решения для рассматриваемой модели регуляции концентрации клеток крови (периодическое поведение или апериодическое поведение) можно определить

по траекториям в фазовой плоскости ( $c(t)$ ,  $c(t-T)$ ).

**Изобразите** фазовые траектории решений начальной задачи для уравнения (5) при фиксированных значениях параметров  $\lambda = 2$ ,  $g = 1$ ,  $T = 2$  и различных значениях параметра  $m = \{7, 7.75, 8.5, 8.79, 9.65, 9.69715, 9.6975, 9.76, 10, 20\}$ . Начальная функцию  $\phi(t) = 0.9$  на начальном множестве  $I_0 = [-T, 0]$ .

**Сравните** с аналогичными фазовыми траекториями численных решений из [1, стр. 29, Рис. 1.16] и [3, Рис. 6].



На основании построенных фазовых траекторий **сформулируйте выводы** о качественном поведении решения математической модели для уравнения (5) в окрестности положения равновесия  $c(t) \equiv 1$  для различных значений параметра  $m$ .

### Рекомендации по выполнению Задания 4.2

Для построения фазового портрета можно воспользоваться примером Mackey-Glass delay differential equation из справочной системы *Mathematica* для функции **NDSolve**.

## Литература

- [1] Д. Мюррей. Математическая биология. Том I. Введение. -- М.-Ижевск, 2009.
- [2] Л. Э. Эльсгольц, С. Б. Норкин. Введение в теорию дифференциальных уравнений с отклоняющимся аргументом. -- М.: Наука, 1971.

- [3] L. Glass, M. C. Mackey. Pathological conditions resulting from instabilities in physiological control systems. *Ann. N. Y. Acad. Sci.*, 316:214--235, 1979.
- [4] А. Д. Мышкис. Линейные дифференциальные уравнения с запаздывающим аргументом. -- М.: Наука, 1972.
- [5] Ю. Ф. Долгий, П. Г. Сурков. Математические модели динамических систем с запаздыванием. -- Екатеринбург: Изд-во Урал. ун-та, 2012.